НПК «Технологический центр» МИЭТ

«Разработка технологии и создание средств обнаружения скрытно переносимых человеком опасных предметов и контроля его психоэмоционального состояния»

Многопрофильное предприятие «ЭЛСИС»

«Разработка технологии и создание средств контроля психоэмоционального состояния человека»

Психофизиология движений

Жизнь – это движение.

Аристотель

Рефлекторные действия характеризуют эмоции. Ч.Дарвин

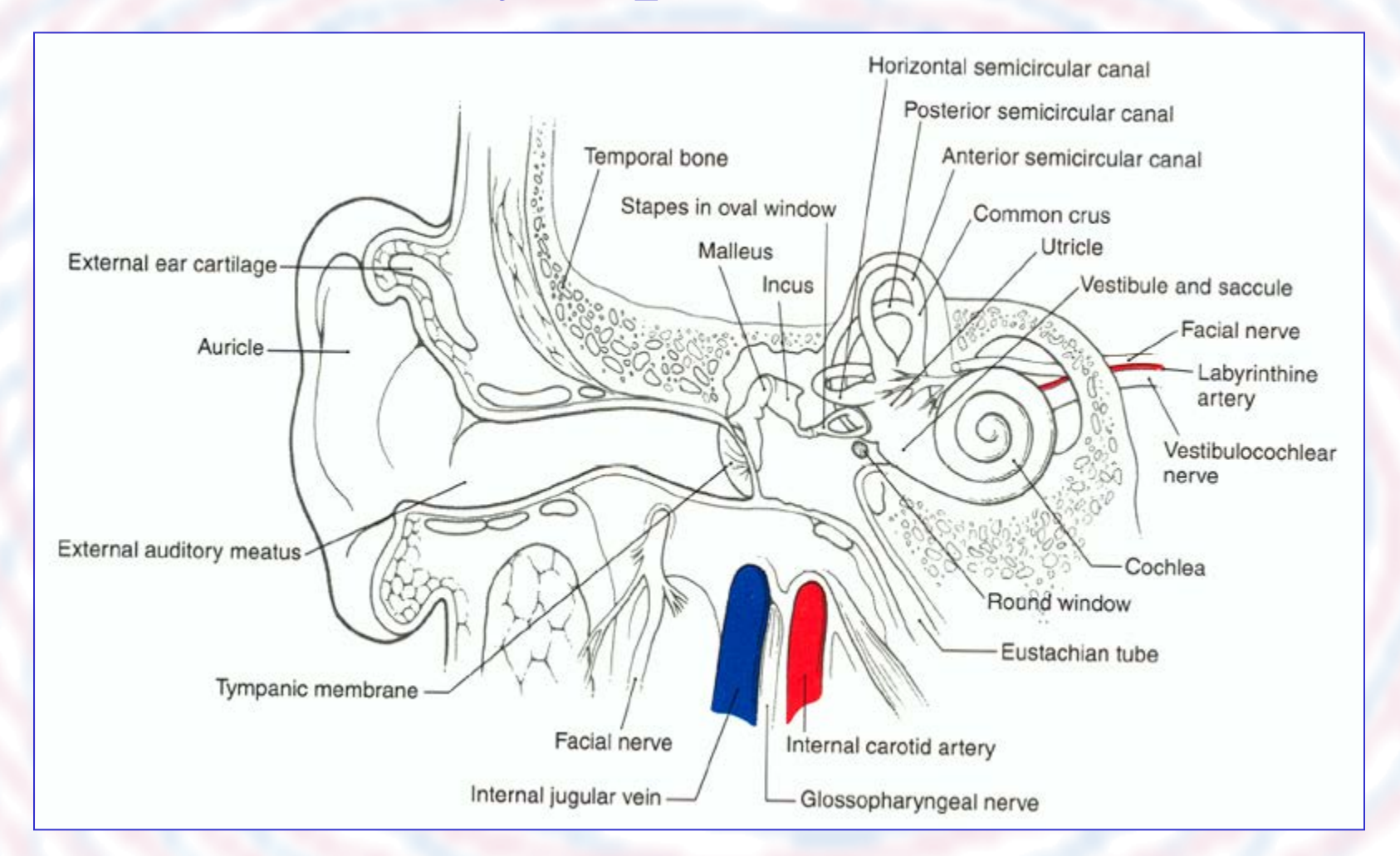
Все внешние проявления мозговой деятельности могут быть сведены на мышечное движение.

И.М.Сеченов

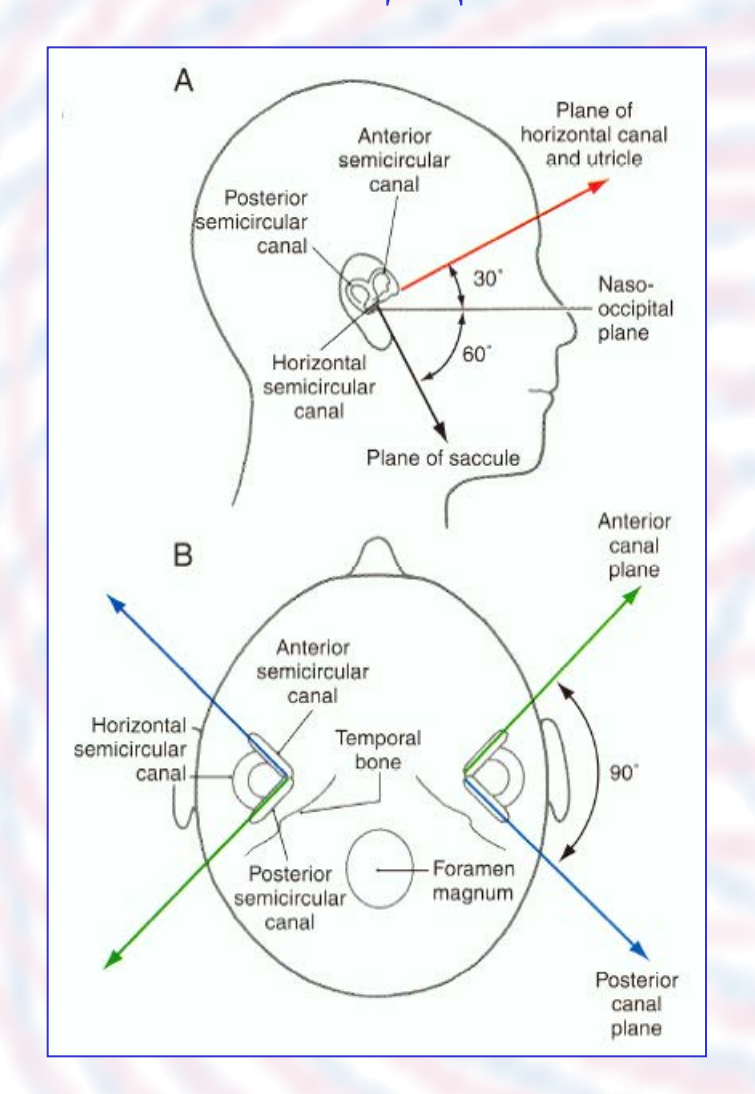
Амплитуда и интенсивность рефлекторных движений характеризует агрессию.

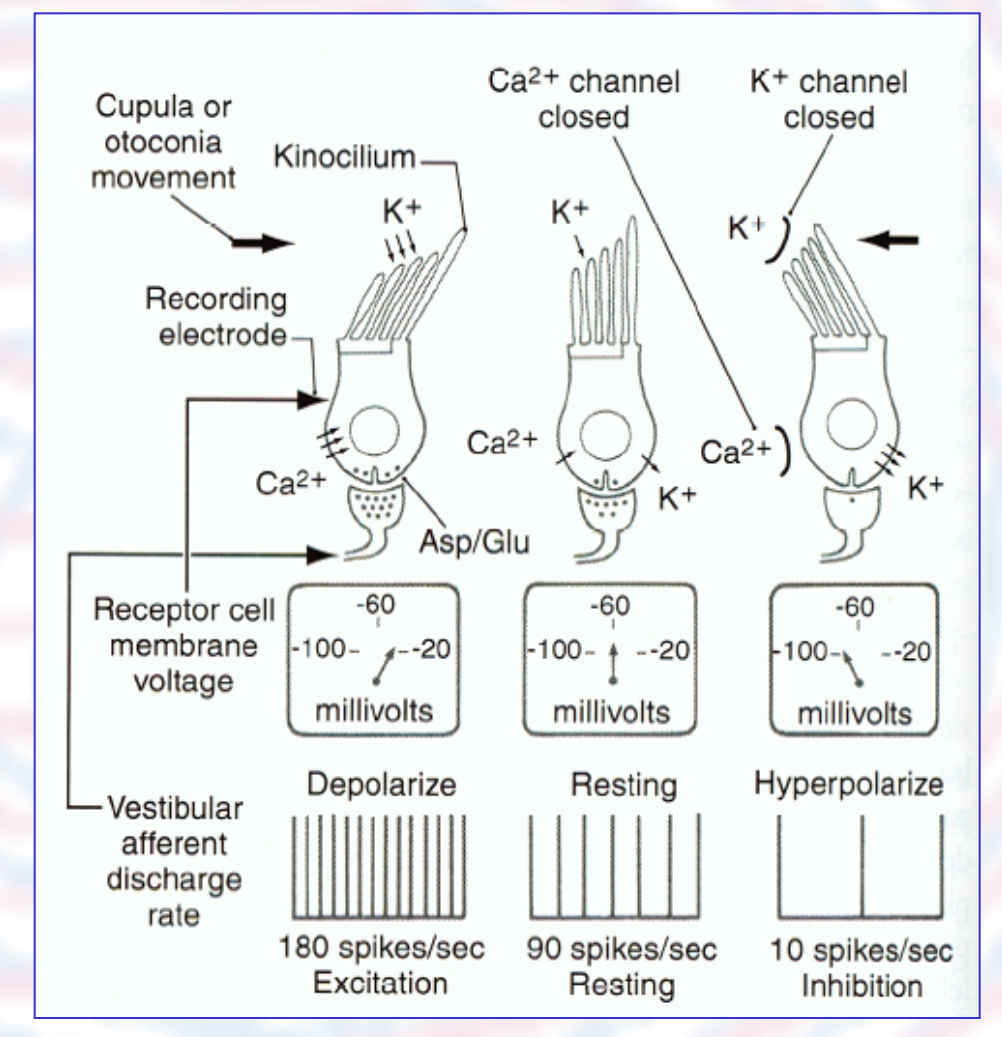
К.Лоренц

Вестибулярная система

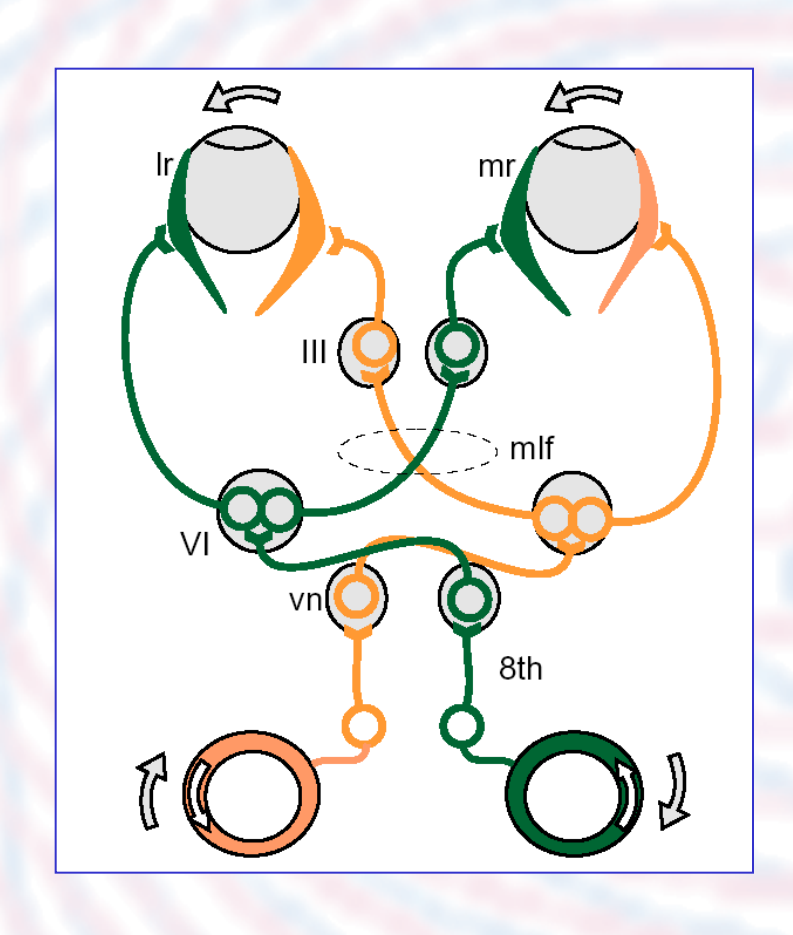


Движения головы





Вестибулярные рефлексы

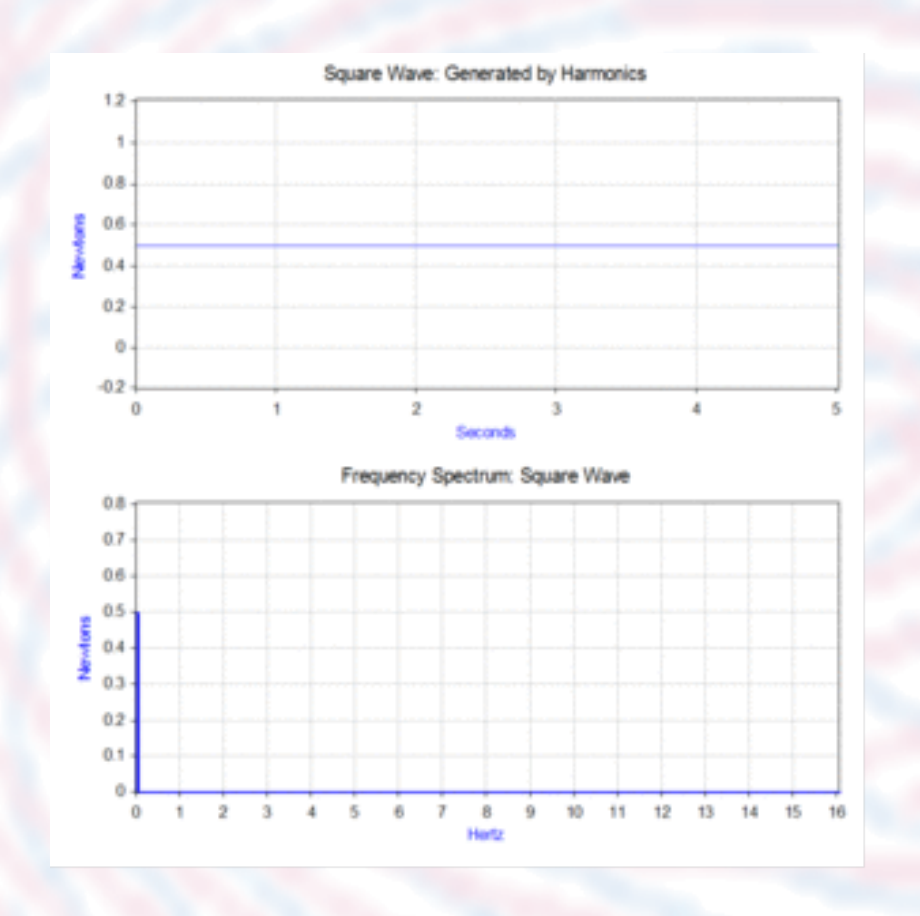


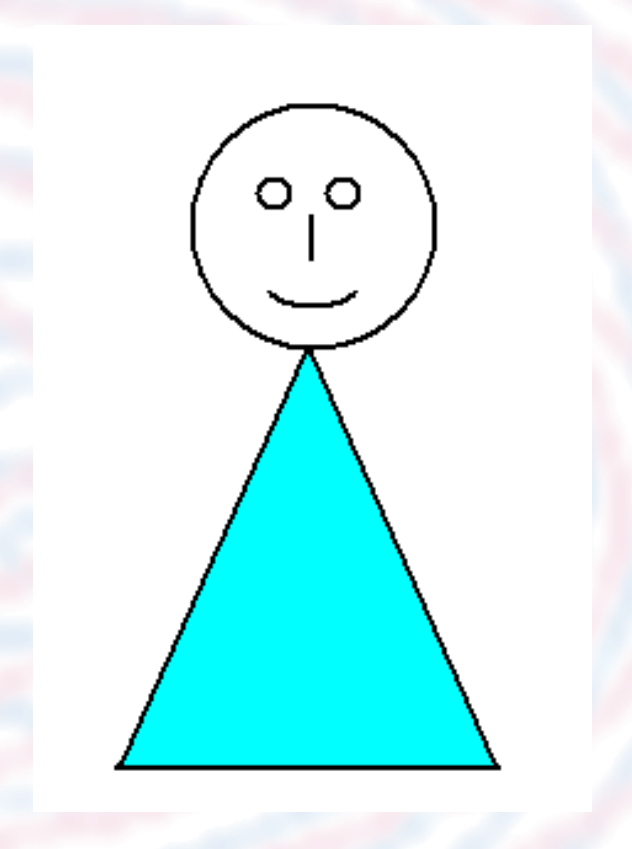




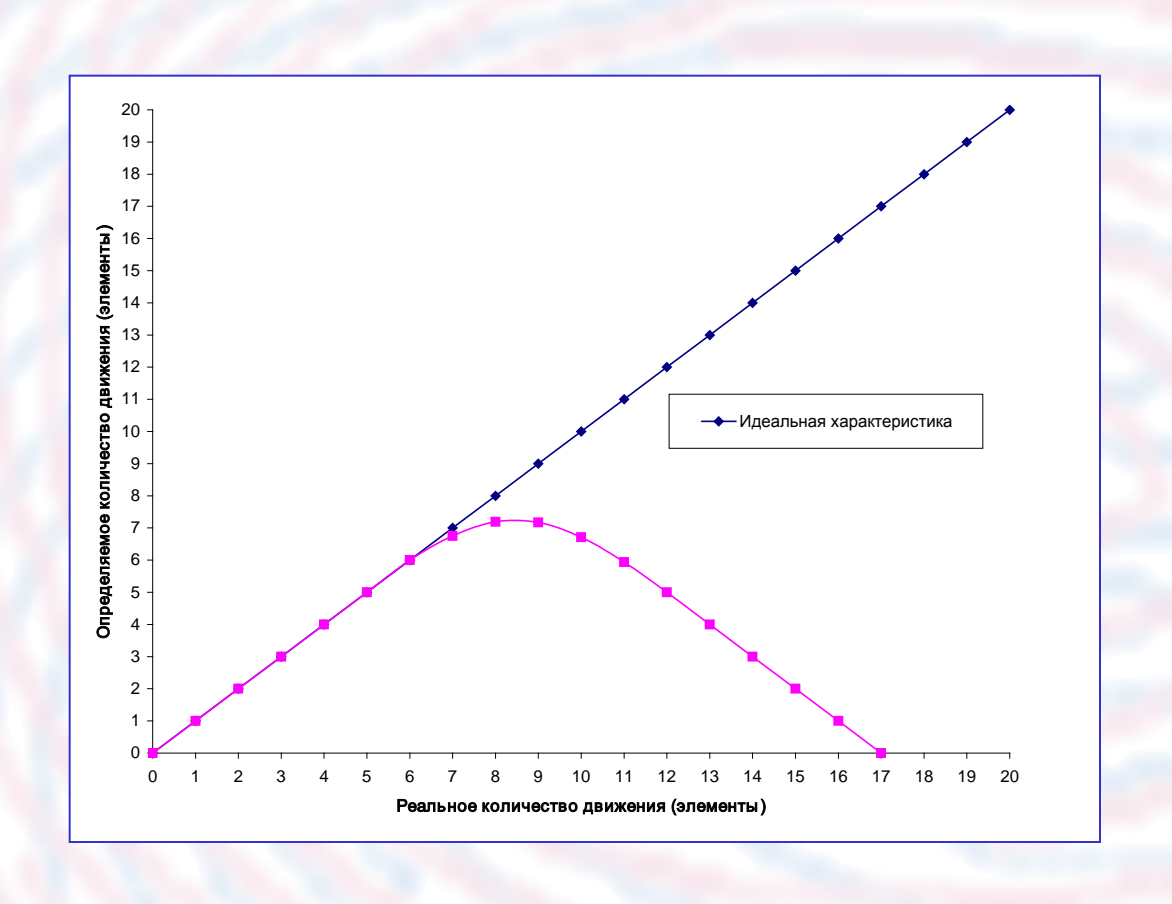


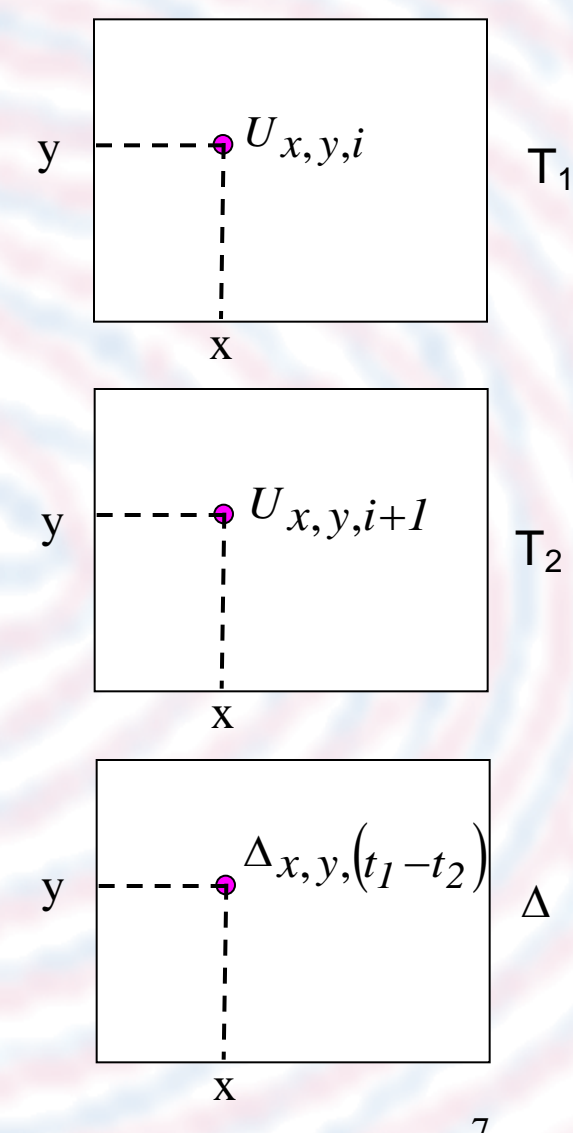
Вибрация и вестибулярно-эмоциональный рефлекс



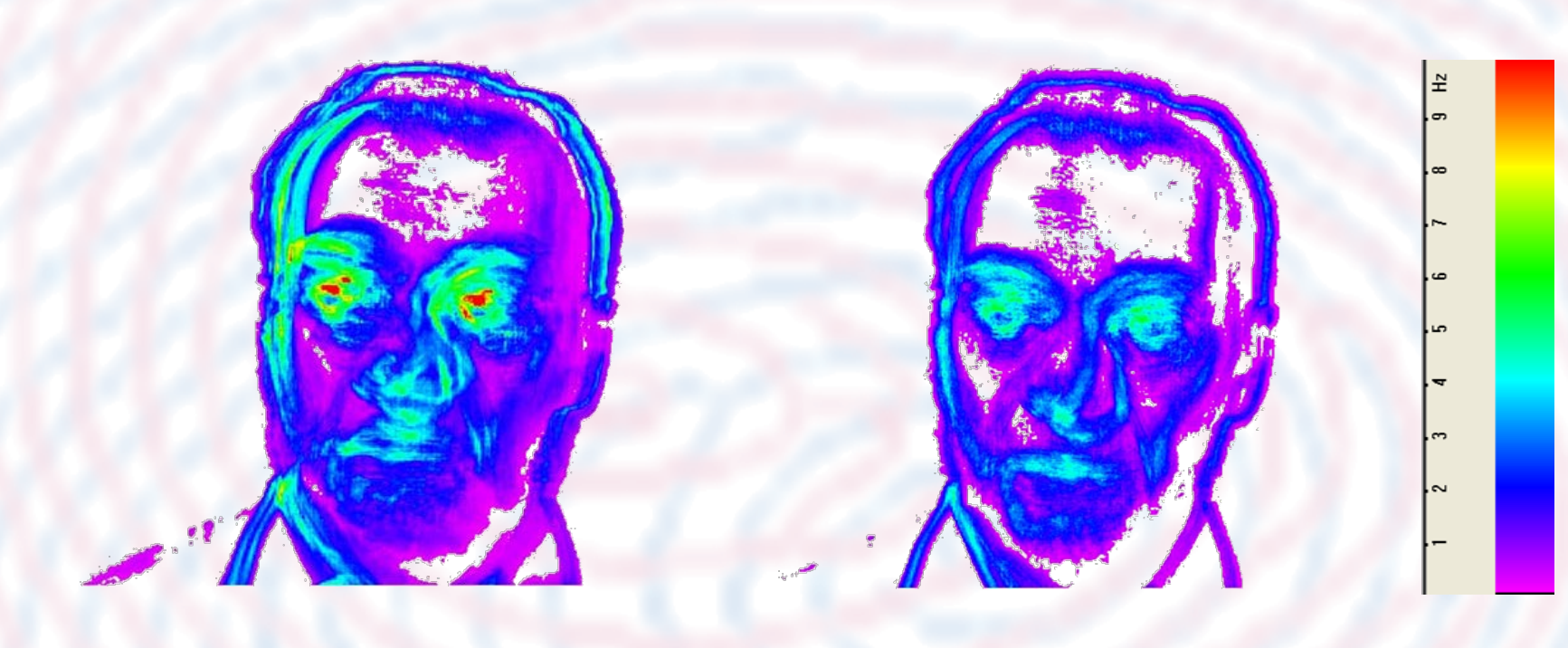


Межкадровая разность





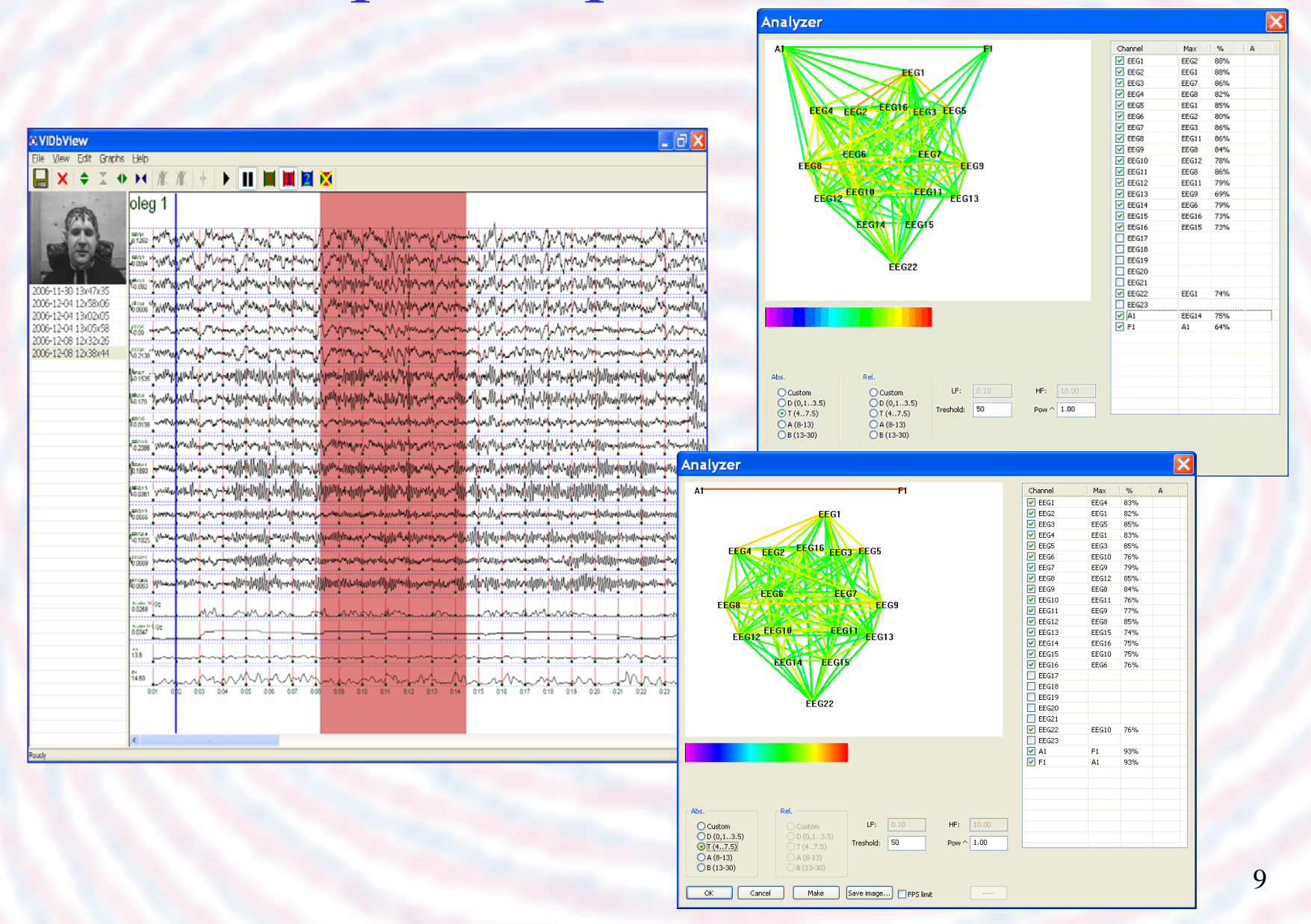
Виброизображение



$$A_{x,y} = \frac{1}{N} \sum_{i=1}^{N} |U_{x,y,i} - U_{x,y,(i+1)}| \qquad F_{x,y} = \frac{F_m}{N} \sum_{i=1}^{N} \left\{ \frac{\Delta_i <> 0:1}{u + a \cdot u + a \cdot$$

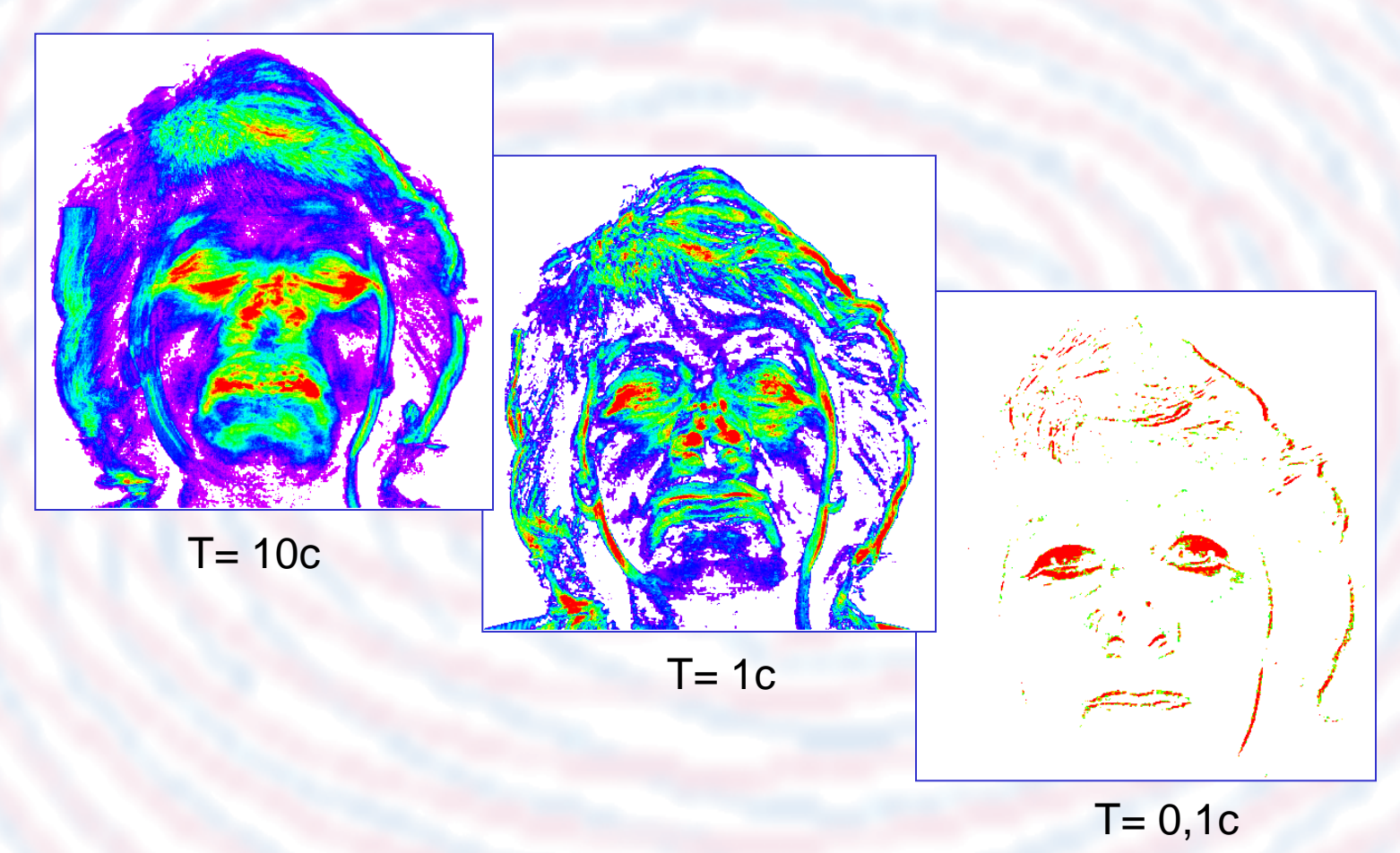
$$F_{x,y} = \frac{F_m}{N} \sum_{i=1}^{N} \begin{cases} \Delta_i <> 0:1 \\ uhave:0 \end{cases}$$

Виброизображение и ЭЭГ

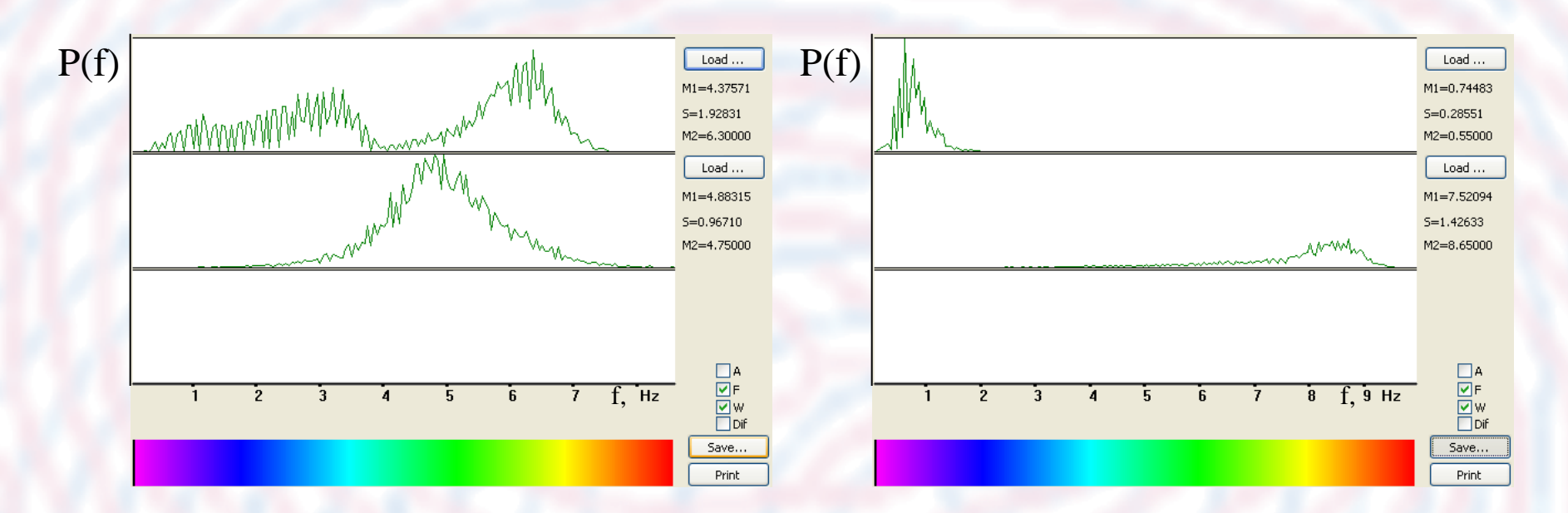


Многообразие виброизображения

Информативные параметры виброизображения



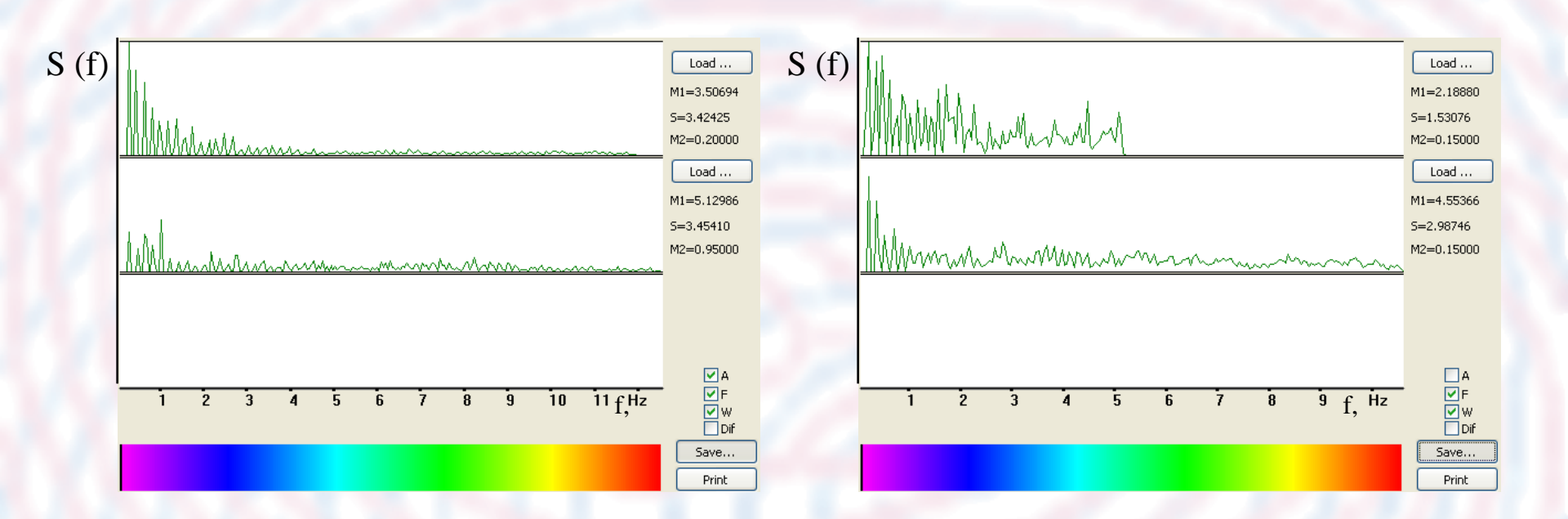
Гистограммы распределения частоты



Гистограммы распределения частоты виброизображения для больного (гриппом) человека (верхний график) и человека, находящегося в нормальном состоянии (нижний график).

Частотные распределения, характерные для состояния усталости (верхний график) и возбужденного состояния человека (нижний график).

Спектр мощности частоты вибрации

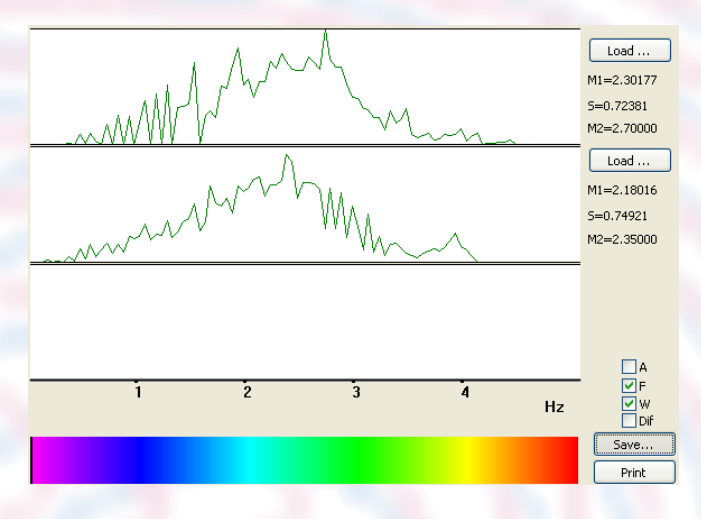


Спектр частоты интегрального сигнала виброизображения объекта в спокойном состоянии (верхний график) и состоянии тревожности (нижний график).

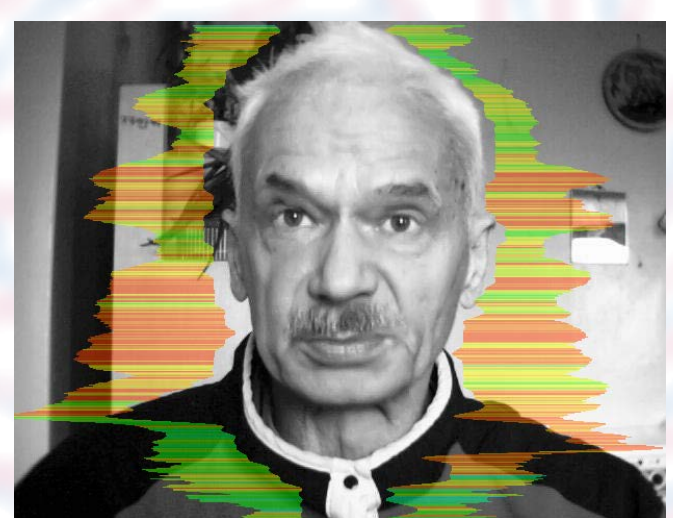
Сравнительные распределения частотных спектров одного состояния человека, полученные с частотой кадров 5 к/с (верхний график) и 10 к/с (нижний график).

Внешнее виброизображение









Требования безопасности аэропорта



Контроль уровней

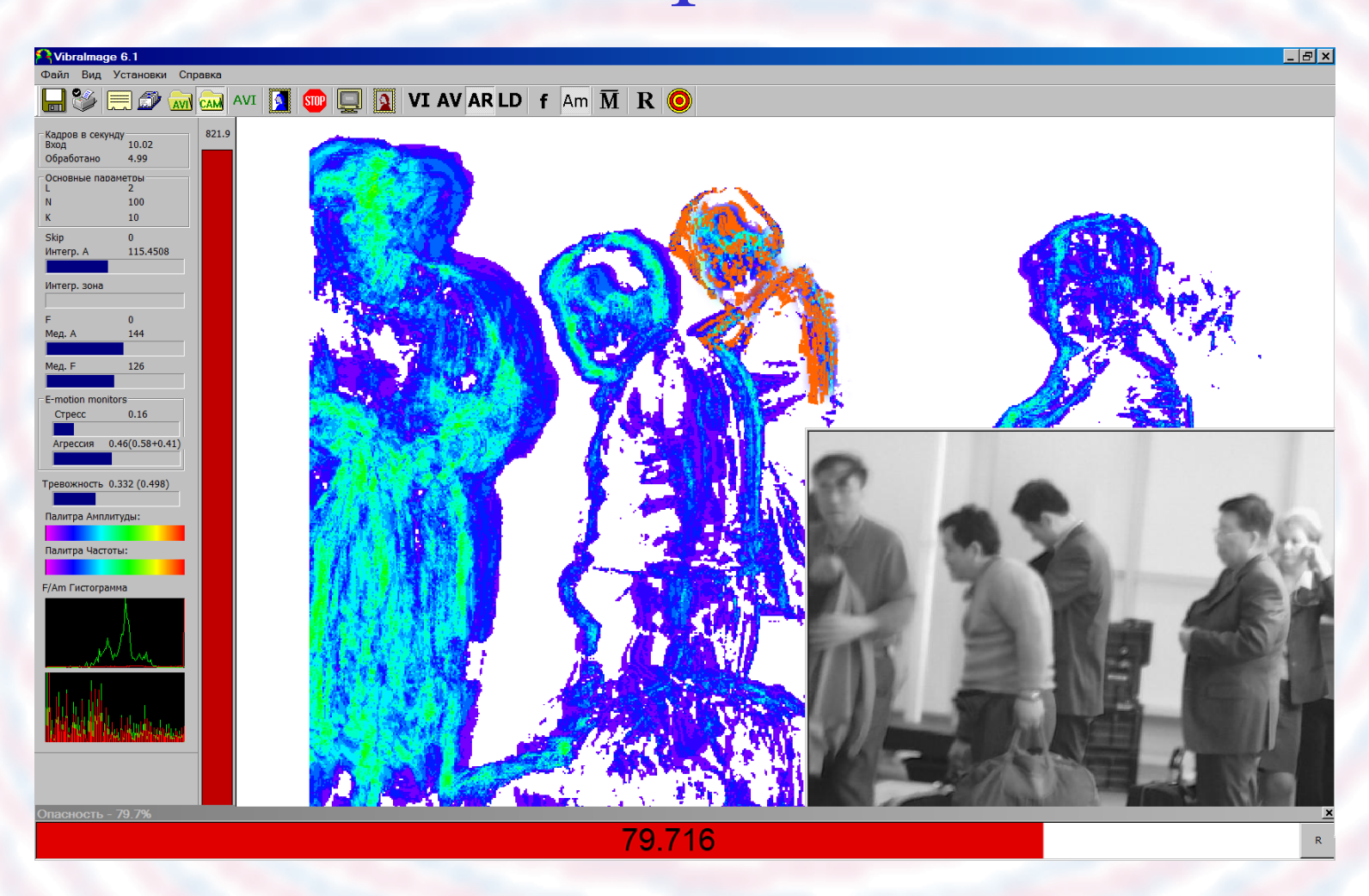
- Агрессии
- Стресса
- Тревожности
- Потенциальной опасности

$$Agr = \frac{F_m + 4*\sqrt{\frac{1}{n} \sum_{i=1}^{n} (F_i - \overline{F})^2}}{512}$$

$$T\kappa \le 10 c;$$

 $L \ge 2 m$
 $FRR \le 10\%$

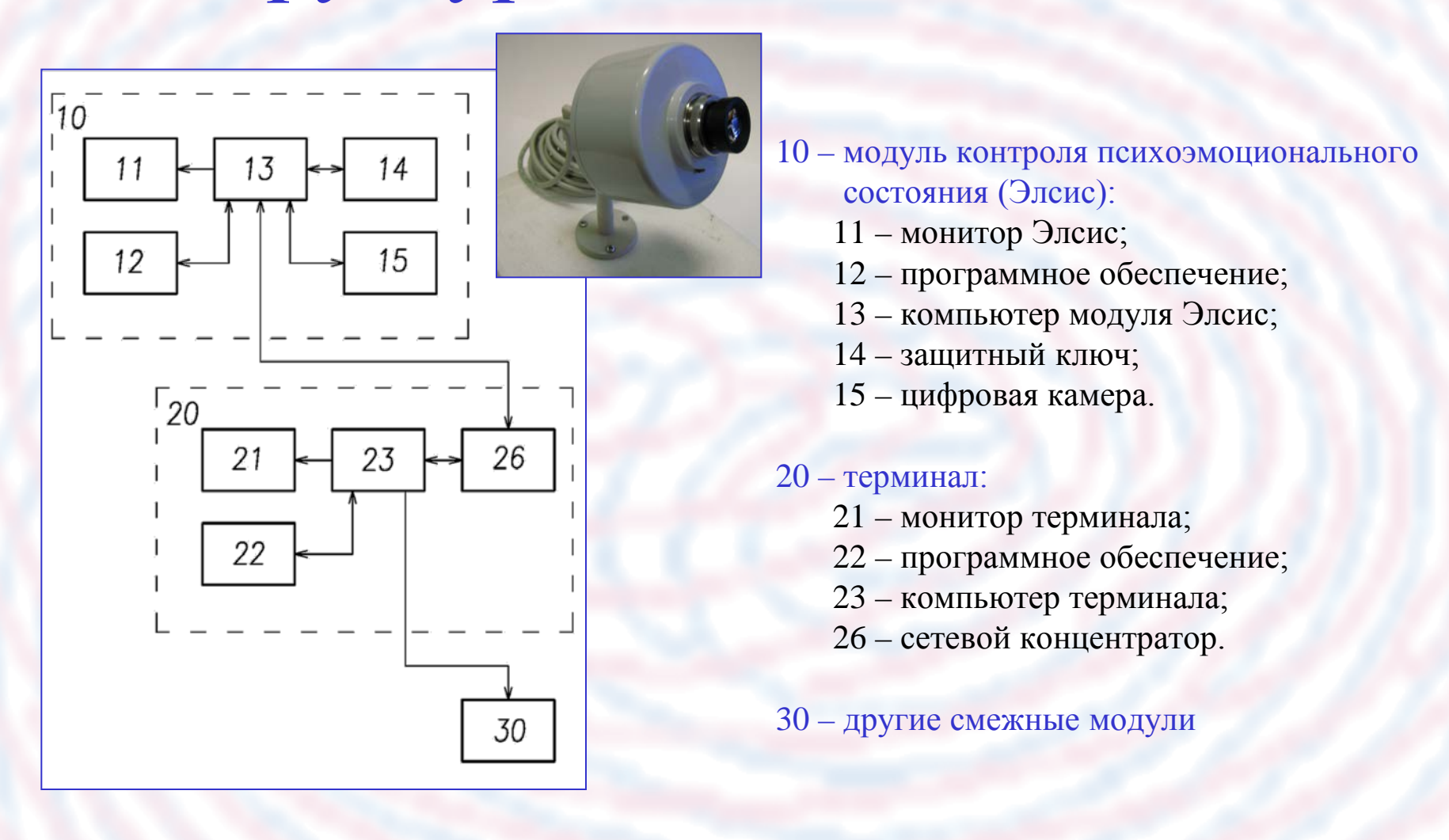
Анализ макродвижения



Технологические ограничения

- Использование низкошумящего телевизионного и высокопроизводительного компьютерного оборудования
- Стабильность и равномерность освещенности объекта
- Отсутствие внешних воздействий и посторонних движений в анализируемом кадре
- Правовое обеспечение

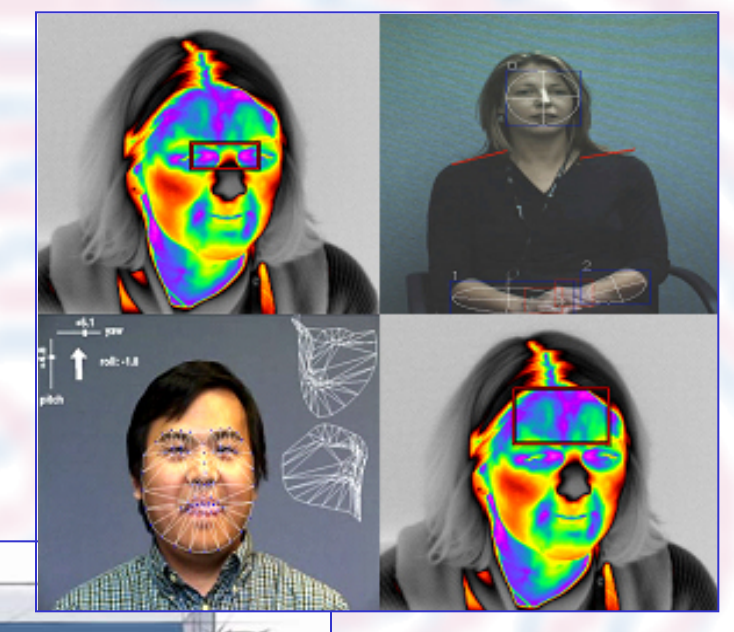
Структурная схема системы



Развитие технологий идентификации состояния человека для систем безопасности

Виброизображение

Vibralmage



Враждебные намерения

Hostile Intentions

Применение виброизображения

- Безопасность
- Биометрия
- Медицина
- Психология
- Спорт
- Компьютерная техника
- Бытовая электроника
- Игровые приложения

Спасибо за внимание!

- Государственный контракт № 02.522.11.2010 от 05 июня 2007 г.
- Головная организация: НПК «Технологический центр» МИЭТ, г. Москва
- Исполнители: В.Ф.Веселов
- Организация-соисполнитель: ООО «Многопрофильное предприятие «Элсис», г. Санкт-Петербург
- Исполнители: В.А.Минкин
- Контактная информация:

ООО «Многопрофильное предприятие «Элсис»

Руководитель проекта: Минкин В.А.

194223, г. Санкт-Петербург, пр. Тореза, 68; тел./факс: (812) 552-67-19

e-mail: minkin@elsys.ru

www.elsys.ru